

# Спектральный анализ разностных схем

## 1 Исследование схем на устойчивость по начальным данным методом гармоник

Одним из достаточно простых и эффективных способов исследования линейных разностных схем на устойчивость по начальным данным является метод гармоник. Его можно использовать как для двухслойных схем вида

$$B \frac{\hat{y} - y}{\tau} + Ay = \varphi, \quad (1.1)$$

так и для трехслойных схем вида

$$B \frac{\hat{y} - \check{y}}{2\tau} + R(\hat{y} - 2y + \check{y}) + Ay = \varphi, \quad (1.2)$$

где  $A$ ,  $B$  и  $R$  — линейные разностные операторы с постоянными коэффициентами, действующие на сеточную функцию  $y$  как на функцию пространственной переменной  $x$ . Заметим, что рассмотренные нами схемы для уравнения теплопроводности принадлежат к классу (1.1), а для уравнения колебаний — к классу (1.2).

Далее будем рассматривать частный случай — разностные схемы для задач Коши на прямой  $x \in (-\infty, +\infty)$ . Пусть схемы (1.1) и (1.2) заданы на равномерной сетке:

$$x_n = n \cdot h, \quad n = 0, \pm 1, \pm 2, \dots; \quad t_j = j \cdot \tau, \quad j = 0, 1, \dots$$

Исследуя устойчивость по начальным данным, фиксируем правую часть  $\varphi$  в уравнениях (1.1) и (1.2). Пусть  $y^{(1)}$  и  $y^{(2)}$  — решения соответствующих разностных уравнений при двух разных начальных условиях. Тогда их разность  $\delta y = y^{(1)} - y^{(2)}$  будет удовлетворять однородному уравнению

$$B \frac{\delta \hat{y} - \delta y}{\tau} + A \delta y = 0 \quad (1.3)$$

в случае двухслойной схемы, и уравнению

$$B \frac{\delta \hat{y} - \delta \check{y}}{2\tau} + R(\delta \hat{y} - 2\delta y + \delta \check{y}) + A\delta y = 0 \quad (1.4)$$

в случае трехслойной схемы.

Разложим  $\delta y(x_n, t_j) = \delta y_n^j$  в ряд по пространственным гармоникам  $e^{iqx_n}$ :

$$\delta y_n^j = \sum_q \delta y_{n,q}^j = \sum_q C_q(t_j) e^{iqx_n}.$$

Так как уравнения (1.3) и (1.4) линейны, их можно рассматривать для каждой гармоники  $\delta y_{n,q}^j = C_q(t_j) e^{iqx_n}$  в отдельности.

Рассмотрим подробно случай двухслойной схемы (1.3). При каждом фиксированном  $q$  получаем:

$$(C_q(t_{j+1}) - C_q(t_j)) B e^{iqx_n} + \tau C_q(t_j) A e^{iqx_n} = 0. \quad (1.5)$$

Так как выражения  $B e^{iqx_n}$  и  $A e^{iqx_n}$  представляют собой конечные линейные комбинации выражений  $e^{i\alpha_q n} = e^{i\alpha_q n}$ ,  $e^{iqx_{n-1}} = e^{i\alpha_q(n-1)}$ ,  $e^{iqx_{n+1}} = e^{i\alpha_q(n+1)}$  и т.д., где  $\alpha_q = qh$ , то, сокращая на  $e^{i\alpha_q n}$ , из равенства (1.5) получаем, что

$$C_q(t_{j+1}) = \lambda_q \cdot C_q(t_j),$$

где  $\lambda_q$  — число, которое не зависит ни от  $n$ , ни от  $j$ . Число  $\lambda_q$  называют множителем роста для  $q$ -й гармоники. Его можно найти из уравнения:

$$(\lambda_q - 1) B e^{iqx_n} + \tau A e^{iqx_n} = 0.$$

Таким образом, для двухслойной схемы получаем:

$$\delta y_n^{j+1} = \sum_q \lambda_q C_q(t_j) e^{iqx_n}, \quad \delta y_n^{j+2} = \sum_q \lambda_q^2 C_q(t_j) e^{iqx_n},$$

и так далее.

Аналогичный результат имеет место и в случае трехслойной схемы. Рассматривая уравнение (1.4) для каждой гармоники в отдельности и учитывая, что  $\delta y_{n,q}^{j-1}$ ,  $\delta y_{n,q}^j$  и  $\delta y_{n,q}^{j+1}$  связаны соотношениями

$$\delta y_{n,q}^{j-1} = C_q(t_{j-1}) e^{iqx_n}, \quad \delta y_{n,q}^j = \lambda_q \delta y_{n,q}^{j-1} = \lambda_q C_q(t_{j-1}) e^{iqx_n}, \quad \delta y_{n,q}^{j+1} = \lambda_q^2 \delta y_{n,q}^{j-1} = \lambda_q^2 C_q(t_{j-1}) e^{iqx_n},$$

для множителей роста приходим к следующему квадратному уравнению:

$$(\lambda_q^2 - 1) B e^{iqx_n} + 2\tau(\lambda_q^2 - 2\lambda_q + 1) R e^{iqx_n} + 2\tau \lambda A e^{iqx_n} = 0.$$

**Теорема 1.1** Для равномерной устойчивости схем (1.1) и (1.2) по начальным данным необходимо и достаточно, чтобы для любых  $q$  выполнялось условие:

$$|\lambda_q| \leq 1 + c\tau, \quad c \geq 0, \quad (1.6)$$

где константа  $c$  не зависит ни от  $q$ , ни от шагов сетки  $\tau$  и  $h$ .

**ДОКАЗАТЕЛЬСТВО.**

*Необходимость.* Пусть хотя бы для одной гармоники с номером  $q_0$  условие (1.6) не выполняется. Это означает, что для любого сколь угодно большого  $c$  имеет место неравенство:

$$|\lambda_{q_0}| \geq 1 + c\tau.$$

Если на произвольном слое  $t_j$  в этой гармонике имеется возмущение  $\delta y_{n,q_0}^j$ , то к моменту времени  $T = t_j + J \cdot \tau$  его амплитуда будет порядка

$$|\lambda_{q_0}|^J = |\lambda_{q_0}|^{(T-t_j)/\tau} \geq (1 + c\tau)^{(T-t_j)/\tau} \approx (e^{c\tau})^{(T-t_j)/\tau} = e^{c(T-t_j)},$$

где  $c$  может быть сколь угодно велико. Это и означает неустойчивость по начальным данным.

*Достаточность.* Разложим возмущение на некотором слое  $t_j$  в ряд по гармоникам:

$$\delta y(t_j) = \sum_q C_q(t_j) e^{iqx_n}.$$

При  $t = t_{j+J}$  возмущение будет иметь вид:

$$\delta y(t_{j+J}) = \sum_q C_q(t_{j+J}) e^{iqx_n} = \sum_q \lambda_q^J C_q(t_j) e^{iqx_n}.$$

Гармоники  $e^{iqx_n}$  с различными  $q$  ортогональны между собой на отрезке длиной  $2\pi$ . Оценим погрешность решения на слое  $j + J$  по норме  $L_2$  на отрезке длиной  $2\pi$ :

$$\|\delta y(t_{j+J})\|_{L_2}^2 = \sum_q |\lambda_q|^{2J} |C_q(t_j)|^2 \|e^{iqx_n}\|_{L_2}^2 \leq (1+c\tau)^{2J} \underbrace{\sum_q |C_q(t_j)|^2 \|e^{iqx_n}\|_{L_2}^2}_{\|\delta y(t_j)\|_{L_2}^2} \leq e^{2c(t-t_j)} \|\delta y(t_j)\|_{L_2}^2.$$

Последнее неравенство означает равномерную устойчивость по начальным данным. ■

## 2 Примеры использования метода гармоник

**Пример 2.1.** Исследуйте на устойчивость с помощью метода гармоник явную схему для задачи:

$$\begin{cases} \frac{\partial u}{\partial t} - a^2 \frac{\partial^2 u}{\partial x^2} = 0, & x \in \mathbb{R}^1, \quad t \in (0, T], \\ u(x, 0) = \mu(x), & x \in \mathbb{R}^1. \end{cases}$$

РЕШЕНИЕ. Введем равномерную сетку

$$x_n = n \cdot h, \quad n = 0, \pm 1, \pm 2, \dots; \quad t_j = j \cdot \tau, \quad j = 0, 1, \dots, J, \quad J \cdot \tau = T.$$

На этой сетке явная схема для рассматриваемой задачи имеет вид:

$$\begin{cases} \frac{y_n^{j+1} - y_n^j}{\tau} - a^2 \frac{y_{n+1}^j - 2y_n^j + y_{n-1}^j}{h^2} = 0, & n = 0, \pm 1, \pm 2, \dots, \quad j = 0, 1, \dots, J-1; \\ y_n^0 = \mu(x_n) \equiv \mu_n, & n = 0, \pm 1, \pm 2, \dots \end{cases}$$

При этом погрешность  $\delta y$ , обусловленная погрешностью начальных данных, удовлетворяет уравнению

$$\frac{\delta y_n^{j+1} - \delta y_n^j}{\tau} - a^2 \frac{\delta y_{n+1}^j - 2\delta y_n^j + \delta y_{n-1}^j}{h^2} = 0, \quad n = 0, \pm 1, \pm 2, \dots, \quad j = 0, 1, \dots, J-1. \quad (2.1)$$

В соответствии с методом гармоник получаем:

$$\begin{aligned} \delta y_n^j &= \sum_q \delta y_{n,q}^j = \sum_q C_q(t_j) e^{iqx_n} = \sum_q C_q(t_j) e^{i\alpha_q n}, \\ \delta y_n^{j+1} &= \sum_q \lambda_q \delta y_{n,q}^j = \sum_q \lambda_q C_q(t_j) e^{iqx_n} = \sum_q \lambda_q C_q(t_j) e^{i\alpha_q n}, \end{aligned}$$

где  $\alpha_q = qh$ . Гармоники  $\delta y_{n,q}^j$  и  $\delta y_{n,q}^{j+1}$  на слоях  $j$  и  $j+1$  связаны соотношениями:

$$\delta y_{n,q}^{j+1} = \lambda_q \delta y_{n,q}^j, \quad \delta y_{n,q}^j = C_q(t_j) e^{i\alpha_q n} \quad j = 1, 2, \dots, J-1.$$

Подставляя эти выражения в уравнение (2.1) и сокращая на  $e^{i\alpha_q n}$ , получаем:

$$\frac{\lambda_q - 1}{\tau} - a^2 \frac{e^{i\alpha_q} - 2 + e^{-i\alpha_q}}{h^2} = 0.$$

Так как

$$\frac{e^{i\alpha_q} - 2 + e^{-i\alpha_q}}{4} = - \left( \frac{e^{i\frac{\alpha_q}{2}} - e^{-i\frac{\alpha_q}{2}}}{2i} \right)^2 = - \sin^2 \frac{\alpha_q}{2},$$

то

$$\lambda_q(\alpha_q) = 1 - 4ra^2 \sin^2 \frac{\alpha_q}{2}, \quad r = \frac{\tau}{h^2}.$$

При изменении  $\alpha_q$  число  $\lambda_q(\alpha_q)$  пробегает весь спектр оператора перехода со слоя на слой. В данном случае спектр расположен на отрезке  $1 - 4ra^2 \leq \lambda \leq 1$  (см. рис. 1). Условие устойчивости (1.6) схемы выполнено, если

$$1 - 4ra^2 \geq -1 \Rightarrow r \leq \frac{1}{2a^2} \Leftrightarrow \tau \leq \frac{h^2}{2a^2}.$$

Таким образом, явная схема для уравнения теплопроводности является условно устойчивой. Ее можно использовать только в том случае, когда шаги сетки удовлетворяют неравенству  $\tau \leq \frac{h^2}{2a^2}$ .

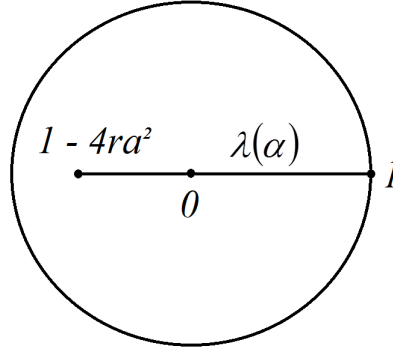


Рис. 1: Спектр оператора перехода со слоя на слой явной схемы для уравнения теплопроводности

**Пример 2.2.** *Исследуйте на устойчивость с помощью метода гармоник неявную схему для задачи:*

$$\begin{cases} \frac{\partial u}{\partial t} - a^2 \frac{\partial^2 u}{\partial x^2} = 0, & x \in \mathbb{R}^1, \quad t \in (0, T], \\ u(x, 0) = \mu(x), & x \in \mathbb{R}^1. \end{cases}$$

РЕШЕНИЕ. Пользуясь той же сеткой, что и в предыдущем примере, запишем неявную схему для рассматриваемой задачи:

$$\begin{cases} \frac{y_n^{j+1} - y_n^j}{\tau} - a^2 \frac{y_{n+1}^{j+1} - 2y_n^{j+1} + y_{n-1}^{j+1}}{h^2} = 0, & n = 0, \pm 1, \pm 2, \dots, \quad j = 0, 1, \dots, J-1; \\ y_n^0 = \mu(x_n) \equiv \mu_n, & n = 0, \pm 1, \pm 2, \dots \end{cases}$$

Так как гармоники погрешности  $\delta y$  на слоях  $j$  и  $j+1$  связаны соотношениями:

$$\delta y_{n,q}^{j+1} = \lambda_q \delta y_{n,q}^j, \quad \delta y_{n,q}^j = C_q(t_j) e^{i\alpha_q n} \quad j = 1, 2, \dots, J-1,$$

а сама погрешность в данном случае удовлетворяет уравнению

$$\frac{\delta y_n^{j+1} - \delta y_n^j}{\tau} - a^2 \frac{\delta y_{n+1}^{j+1} - 2\delta y_n^{j+1} + \delta y_{n-1}^{j+1}}{h^2} = 0, \quad n = 0, \pm 1, \pm 2, \dots, \quad j = 0, 1, \dots, J-1,$$

получаем:

$$\begin{aligned} \lambda_q - 1 - \frac{a^2 \tau}{h^2} \lambda_q (e^{i\alpha_q} - 2 + e^{-i\alpha_q}) &= 0 \Rightarrow \\ \lambda_q(\alpha_q) &= \frac{1}{1 + 4ra^2 \sin^2 \frac{\alpha_q}{2}}, \quad r = \frac{\tau}{h^2}. \end{aligned}$$

Спектр  $\lambda(\alpha)$  заполняет отрезок вещественной оси:

$$\frac{1}{1 + 4ra^2} \leq \lambda(\alpha) \leq 1,$$

то есть условие устойчивости (1.6) схемы выполнено при любом  $r$ . Следовательно, неявная схема для уравнения теплопроводности является безусловно устойчивой по начальным данным, то есть устойчивой при любом соотношении шагов сетки.

**Пример 2.3.** Исследуйте на устойчивость по начальным данным схему «крест» для задачи Коши для уравнения колебаний на прямой:

$$\begin{cases} \frac{\partial^2 u}{\partial t^2} - a^2 \frac{\partial^2 u}{\partial x^2} = 0, & x \in \mathbb{R}^1, t \in (0, T]; \\ u(x, 0) = \varphi(x), \quad \left. \frac{\partial u}{\partial t} \right|_{t=0} = \psi(x), & x \in \mathbb{R}^1, \end{cases} \quad (2.2)$$

где  $a > 0$  – заданное число.

РЕШЕНИЕ. Соответствующая разностная схема имеет вид:

$$\begin{cases} \frac{y_n^{j+1} - 2y_n^j + y_n^{j-1}}{\tau^2} - a^2 \frac{y_{n+1}^j - 2y_n^j + y_{n-1}^j}{h^2} = 0, & n = 0, \pm 1, \pm 2, \dots, j = 1, 2, \dots, J-1, \\ y_n^0 = \varphi_n, \quad \frac{y_n^1 - y_n^0}{\tau} = \psi_n + \frac{\tau a^2}{2} \varphi_n'', & n = 0, \pm 1, \pm 2, \dots, \end{cases}$$

где  $\varphi_n = \varphi(x_n)$ ,  $\varphi_n'' = \varphi''(x_n)$ ,  $\psi_n = \psi(x_n)$ . При этом погрешность  $\delta y$  решения удовлетворяет уравнению:

$$\frac{\delta y_n^{j+1} - 2\delta y_n^j + \delta y_n^{j-1}}{\tau^2} - a^2 \frac{\delta y_{n+1}^j - 2\delta y_n^j + \delta y_{n-1}^j}{h^2} = 0, \quad (2.3)$$

при  $n = 0, \pm 1, \pm 2, \dots, j = 1, 2, \dots, J-1$ . Так как

$$\delta y_n^j = \sum_q \delta y_{n,q}^j = \sum_q C_q^j e^{iqx_n},$$

где

$$y_{n,q}^{j+1} = \lambda_q y_{n,q}^j = \lambda_q C_q^j e^{iqx_n},$$

то, рассматривая уравнение (2.3) для каждой гармоники по отдельности и сокращая на  $C_q^j e^{iqx_n} = C_q^j e^{i\alpha_q n}$ , где  $\alpha_q = qh$ , для множителей роста  $\lambda_q$  приходим к квадратному уравнению:

$$\frac{\lambda_q^2 - 2\lambda_q + 1}{\tau^2} - \lambda_q a^2 \frac{e^{i\alpha_q} - 2 + e^{-i\alpha_q}}{h^2} = 0 \Leftrightarrow \lambda_q^2 - 2 \left( 1 - 2r^2 \sin^2 \frac{\alpha_q}{2} \right) \lambda_q + 1 = 0, \quad r = \frac{\tau a}{h}.$$

Произведение корней полученного квадратного уравнения равно 1. Если его дискриминант

$$D(\alpha_q) = 4 \left( 1 - 2r^2 \sin^2 \frac{\alpha_q}{2} \right)^2 - 4 = 16r^2 \sin^2 \frac{\alpha_q}{2} \left( r^2 \sin^2 \frac{\alpha_q}{2} - 1 \right)$$

отрицателен, то корни  $\lambda_q^1(\alpha_q)$  и  $\lambda_q^2(\alpha_q)$  комплексно сопряжены и равны 1 по модулю.

При  $r < 1$  дискриминант отрицателен при всех  $\alpha_q$ , поэтому при изменении  $\alpha_q$  комплексно-сопряженные корни  $\lambda_q^1(\alpha_q)$  и  $\lambda_q^2(\alpha_q)$  пробегают часть окружности радиуса 1 на комплексной плоскости (рис.2 а). При  $r = 1$  спектр заполняет всю единичную окружность (рис.2 б). При  $r > 1$  по мере изменения  $\alpha_q$  корни квадратного уравнения движутся из точки  $\lambda_1 = 1$

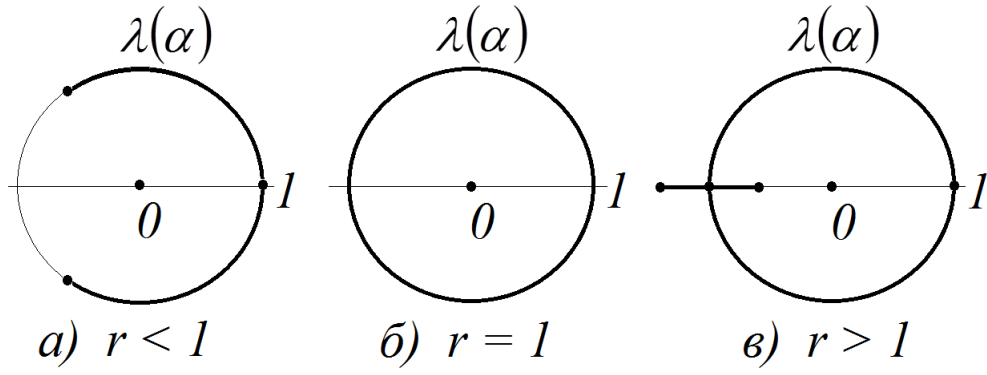


Рис. 2: Спектр оператора перехода со слоя на слой в схеме «крест» для уравнения колебаний

по единичной окружности, один по часовой стрелке, а другой против часовой стрелки, пока не сойдутся в точке  $\lambda_q = -1$ . Затем один из корней пойдет по вещественной оси из точки  $\lambda_q = -1$  влево, а другой — вправо, причем  $\lambda_q^1 \cdot \lambda_q^2 = 1$  (рис.2 в).

Спектральное условие устойчивости схемы по начальным данным выполнено, если спектр оператора перехода со слоя на слой принадлежит единичной окружности на комплексной плоскости, то есть при  $r \leq 1$ . Следовательно, схема «крест» является условно устойчивой. Она устойчива, если шаги сетки удовлетворяют неравенству  $\tau a \leq h$ .

**Пример 2.4.** *Исследуйте на устойчивость по начальным данным неявную схему для задачи Коши для уравнения колебаний на прямой:*

$$\begin{cases} \frac{\partial^2 u}{\partial t^2} - a^2 \frac{\partial^2 u}{\partial x^2} = 0, & x \in \mathbb{R}^1, t \in (0, T]; \\ u(x, 0) = \varphi(x), \quad \left. \frac{\partial u}{\partial t} \right|_{t=0} = \psi(x), & x \in \mathbb{R}^1, \end{cases} \quad (2.4)$$

где  $a > 0$  — заданное число.

**РЕШЕНИЕ.** Соответствующая разностная схема имеет вид:

$$\begin{cases} \frac{y_n^{j+1} - 2y_n^j + y_n^{j-1}}{\tau^2} - \sigma a^2 \frac{y_{n+1}^{j+1} - 2y_n^{j+1} + y_{n-1}^{j+1}}{h^2} - \sigma a^2 \frac{y_{n+1}^{j-1} - 2y_n^{j-1} + y_{n-1}^{j-1}}{h^2} - \\ - (1 - 2\sigma) a^2 \frac{y_{n+1}^j - 2y_n^j + y_{n-1}^j}{h^2} = 0, & j = 1, 2, \dots, J - 1, \\ y_n^0 = \varphi_n, \quad \frac{y_n^1 - y_n^0}{\tau} = \psi_n + \frac{\tau a^2}{2} \varphi_n''. \end{cases}$$

Для множителей роста  $\lambda_q$  получаем квадратное уравнение:

$$\frac{\lambda_q^2 - 2\lambda_q + 1}{\tau^2} + \sigma \frac{a^2 \lambda_q^2}{h^2} 4 \sin^2 \frac{\alpha_q}{2} + \sigma \frac{a^2}{h^2} 4 \sin^2 \frac{\alpha_q}{2} + (1 - 2\sigma) \frac{a^2 \lambda_q}{h^2} 4 \sin^2 \frac{\alpha_q}{2} = 0$$

Введем обозначение

$$\beta_q = \frac{a\tau}{h} \sin \frac{\alpha_q}{2}$$

и перепишем уравнение для  $\lambda_q$  в виде:

$$\lambda_q^2 - 2 \frac{1 - 2(1 - 2\sigma)\beta_q^2}{1 + 4\sigma\beta_q^2} \lambda_q + 1 = 0. \quad (2.5)$$

Как и в предыдущем примере, спектр оператора перехода со слоя на слой будет полностью принадлежать единичной окружности на комплексной плоскости (то есть будет выполнено условие устойчивости схемы), если дискриминант

$$D = 4 \frac{(1 - 2(1 - 2\sigma)\beta_q^2)^2}{(1 + 4\sigma\beta_q^2)^2} - 4 = 16\beta_q^2 \frac{(1 - 4\sigma)\beta_q^2 - 1}{(1 + 4\sigma\beta_q^2)^2}$$

уравнения (2.5) будет меньше либо равен нулю. Следовательно, схема будет устойчивой, если выполнено условие:

$$\left(\frac{a\tau}{h}\right)^2 (1 - 4\sigma) \leq 1. \quad (2.6)$$

Из неравенства (2.6) видно, что при  $\sigma \geq \frac{1}{4}$  неявная схема для уравнения колебаний безусловно устойчива. Если  $\sigma < \frac{1}{4}$ , то схема оказывается условно устойчивой при

$$a\tau \leq \frac{h}{\sqrt{1 - 4\sigma}}.$$

На практике целесообразно выбирать вес  $\sigma$  в пределах  $\left[\frac{1}{4}, \frac{1}{2}\right]$ , так как при  $\sigma > \frac{1}{2}$  центральный слой схемы имеет отрицательный вес  $(1 - 2\sigma)$ .